

## اثر شوری بر تغییرات پروفایل پروتئینی در گیاهچه گندم نان (*Triticum aestivum* L.) رقم روشن Effect of salinity on changes in protein profile in seedling of wheat (*Triticum aestivum* L.) cv. Roshan

محمود ملکی<sup>۱</sup>، محمد رضا نقوی<sup>۲</sup>، هوشنگ علیزاده<sup>۳</sup>، کاظم پوستینی<sup>۴</sup> و سیروس عبد میثانی<sup>۵</sup>

### چکیده

ملکی، م.، م. ر. نقوی، ه. علیزاده، ک. پوستینی و س. عبد میثانی. ۱۳۹۰. اثر شوری بر تغییرات پروفایل پروتئینی در گیاهچه گندم نان (*Triticum aestivum* L.) رقم روشن. مجله علوم زراعی ایران. ۱۳(۴): ۶۹۶-۶۸۴.

به منظور ارزیابی اثر شوری بر پروفایل پروتئینی گیاهچه‌های گندم نان رقم روشن، آزمایش گلخانه‌ای در سال ۱۳۸۸ در دانشکده کشاورزی دانشگاه تهران به اجرا گذاشته شد. در این تحقیق گیاهچه‌های گندم رقم متحمل روشن، به مدت ۱۷ روز تحت تاثیر شوری ۲۰۰ میلی مولار قرار داده شدند. به منظور مقایسه تغییرات پروفایل پروتئینی برگ‌ها در تیمار شوری و شاهد از روش پروتئومیکس استفاده گردید. پروتئین‌های برگ با استفاده از روش TCA-استون استخراج و با استفاده از الکتروفورز ژل دوبعدی در محدوده pH ۴-۷ جداسازی شدند. تعداد ۲۰۰ لکه پروتئینی به طور تکرار پذیر در ژل‌ها شناسایی و مورد تجزیه آماری قرار گرفتند. تعداد ۲۳ لکه با استفاده از طیف سنج جرمی MALDI-TOF-TOF شناسایی شدند. از بین این لکه‌ها، ۴ لکه کاهش بیان و ۱۹ لکه افزایش بیان داشتند. از جمله پروتئین‌هایی که بیان آنها افزایش یافت، گلوتامین سنتتاز، آسکوربات پراکسیداز، سوپر اکسید دیسموتاز، رایسکو اکتیواز بوده و از جمله پروتئین‌هایی که بیان آنها کاهش یافت، فروکتوز بیس فسفات آلدولاز و oxygen-evolving enhancer protein 2 بودند. بسیاری از این پروتئین‌ها در تنظیم متابولیسم کربوهیدرات، نیتروژن و حذف رادیکال‌های فعال اکسیژن نقش اساسی دارند. این تحقیق تا حدودی توانست پروتئین‌های دخیل در تحمل گیاهچه‌های گندم رقم روشن به تنش شوری را شناسایی کند.

واژه‌های کلیدی: پروتئومیکس، تنش شوری و گندم نان.

تاریخ دریافت: ۱۳۸۹/۶/۲۴ تاریخ پذیرش: ۱۳۹۰/۴/۸

۱- عضو هیئت علمی مرکز بین المللی علوم و تکنولوژی پیشرفته و علوم محیطی کرمان و عضو انجمن علوم زراعت و اصلاح نباتات ایران (مکاتبه کننده) (پست الکترونیک: maleki@icst.ac.ir; maleki.li@gmail.com)

۲- استاد گروه زراعت و اصلاح نباتات پردیس کشاورزی و منابع طبیعی دانشگاه تهران

۳- استاد گروه زراعت و اصلاح نباتات پردیس کشاورزی و منابع طبیعی دانشگاه تهران

۴- استاد گروه زراعت و اصلاح نباتات پردیس کشاورزی و منابع طبیعی دانشگاه تهران

۵- استاد گروه زراعت و اصلاح نباتات پردیس کشاورزی و منابع طبیعی دانشگاه تهران

## مقدمه

یکی از تنش‌های غیر زنده اصلی که گیاهان زراعی را تحت تاثیر قرار می‌دهد، شوری است. شوری زیاد خاک تاثیر معکوسی روی رشد و نمو گیاه زراعی می‌گذارد و تخمین زده می‌شود، که این تنش می‌تواند تا حدود ۵۰ درصد عملکرد گیاهان زراعی را کاهش دهد (Kreps et al., 2002).

پاسخ یک گیاه به تنش شوری در دو مرحله رخ می‌دهد: (۱) پاسخ سریع به افزایش فشار اسمزی خارجی (۲) پاسخ آهسته‌تر به علت سمیت یونی در گیاه (Munns and Tester, 2008). در مرحله اول غلظت بالای نمک، پتانسیل اسمزی محلول خاک را کاهش می‌دهد که این موضوع باعث بوجود آمدن تنش آبی در گیاهان می‌شود و در مرحله دوم غلظت بالای نمک باعث سمیت شدید یونی می‌شود. بر همکنش نمک‌ها با مواد غذایی معدنی نیز ممکن است منجر به عدم تعادل و در نتیجه کمبود برخی عناصر غذایی در گیاهان شود. در نتیجه اختلالاتی مثل بی‌نظمی‌های غشایی، بازدارندگی فتوسنتزی، تجمع متابولیت‌های سمی و گونه‌های اکسیژن فعال به وجود می‌آیند و سرعت جذب مواد غذایی کاهش می‌یابد که در نهایت باعث مرگ سلول و کل گیاه می‌شوند (Greenway and Munns, 1980).

پاسخ گیاه به تنش شوری با استفاده از مطالعات پروتئومیکس قابل انجام است، زیرا پروتئوم در مقایسه با ژنوم تحت تاثیر عوامل محیطی تغییر می‌کند (Williams and Hochstetler, 1997) و مشخص شده است که تنها به وسیله مطالعه مستقیم پروتئوم، بررسی سازوکارهای مولکولی و سلولی امکان پذیر است، زیرا سطوح بیان پروتئین همواره با سطوح mRNA همبستگی ندارد (Gygi et al., 1999).

در تحمل به شوری تغییرات ویژه‌ای در پروفایل پروتئین‌ها در بسیاری از گیاهان مشاهده شده است و در همین راستا چندین پروتئین که نقش برجسته‌ای

در پاسخ به تنش شوری دارند، شناسایی شده‌اند (Wang et al., 2008; Gao et al., 2011). در گندم نان با اعمال تنش شوری و با استفاده از روش پروتئومیکس نشان داده شد که آنزیم گلوکاتایون اس- ترانسفراز، پروتئین فریتین و پروتئین ناقل  $H^+$ -ATPase افزایش بیان و پروتئین آزاد کننده اکسیژن در فتوسیستم II کاهش بیان داشتند (Gao et al., 2011). آنزیم‌های فسفو پیروات هیدراتاز، تریوز فسفات ایزومراز و گلوکوز ۶ فسفات دهیدروژناز که در تنظیم متابولیسم کربوهیدرات دخالت دارند و آنزیم‌های آنتی اکسیدانی آسکوربات پراکسیداز و سوپر اکسید دیسموتاز و نیز آنزیم رایسکو اکتیواز در گندم‌های دوروم تحت تنش شوری نیز افزایش یافتند (Caruso et al., 2008). ارزیابی پروتئوم کل رقم شانرونک ۳ در شرایط تنش شوری نیز نشان داد که زیرواحد ATPase E پروتئونی واکوئلی، پروتئین مرتبط با ناقل ABC، زیرواحد ۷ تنظیم کننده پروتئین 26S، پیش ماده پراکسیداز، پراکسیداز ۹، آسکوربات پراکسیداز و پروتئین شوک حرارتی ۷۰ سیتوسولی افزایش بیان داشتند (Wang et al., 2008). مانزو و همکاران (Moons et al., 1997; Moons et al., 1995) برای مطالعه نقش‌های اسید آبسزیک و جاسمونات‌ها در تحمل به شوری برنج از الکتروفورز دو بعدی استفاده کردند. در طول مدت تنش شوری پروتئین‌های پاسخ دهنده به ABA از قبیل پروتئین‌های LEA (Late Embryogenesis Abundant (LEA) proteins) در ارقام مقاوم برنج در مقایسه با ارقام حساس در سطوح بالاتری وجود داشتند. همچنین مشخص شد، که ABA و جاسمونات‌ها بیان پروتئین‌های القا شونده توسط تنش شوری را بطور آنتاگونیستی تنظیم می‌کنند. بنابراین شش پروتئین القا شونده توسط شوری (پراکسیداز، Salt، پروتئین مرتبط با بیماری زایی-۱۰ (PR-10) (PR-1) و دو پروتئین ناشناخته) بعد از تیمار با جاسمونات تجمع یافتند و دو پروتئین دیگر

آب مقطر به مدت ۴۸ ساعت در دمای ۷۲ درجه سانتیگراد خشکانده شده و سپس توزین شدند. به منظور تعیین غلظت سدیم و پتاسیم، مقدار یک گرم از نمونه‌ها در کوره الکتریکی در دمای ۵۵۰ درجه سانتیگراد سوزانده شده و خاکستر حاصله برای اندازه‌گیری محتوای سدیم و پتاسیم به روش فلیم فتومترى مورد استفاده قرار گرفت. محتوای سدیم و پتاسیم بر اساس منحنی استاندارد و بر حسب میلی گرم بر لیتر تعیین شد. میزان عناصر سدیم و پتاسیم هر نمونه با استفاده از رابطه زیر بر حسب میلی گرم بر گرم ماده خشک محاسبه گردید (Rahnama, 2009):

$$AE = \frac{C \times D \times V}{10^6 \times DM} \times 1000 \quad (1)$$

که در آن E: مقدار عنصر مورد نظر بر حسب میلی گرم بر گرم ماده خشک، C: غلظت عنصر بر حسب میلی گرم بر لیتر، D: درجه رقت، V: حجم نهایی عصاره تهیه شده بر حسب میلی لیتر و DM: وزن خشک نمونه بر حسب گرم است.

#### اندازه‌گیری محتوای پروتئین

استخراج پروتئین از بافت برگ (برگ پنجم) بر اساس روش دامروال و همکاران (Damerval *et al.*, 1986) با اندکی تغییرات انجام گرفت. برای اندازه‌گیری میزان غلظت پروتئین‌های نمونه در این آزمایش از روش برادفورد (Bradford, 1976) استفاده شد. در این آزمایش برای وارد کردن پروتئین‌ها به داخل ژل بعد اول، پروتئین‌ها در استوک بازجذب (Rehydration) حل شده و همزمان با عمل بازجذب وارد ژل شدند. عمل بازجذب در طول شب و به طور متوسط ۱۴ تا ۱۶ ساعت طول می‌کشید. در این تحقیق از دستگاه مولتی فور II (Amersham Pharmacia Biotech) برای بعد اول (IEF) استفاده شد. برای انجام بعد دوم از دستگاه Cell Protein II Xi (Bio-Rad) استفاده شد. مراحل رنگ آمیزی طبق روش بلوم و همکاران (Bloom *et al.*, 1987) انجام شد. پس از رنگ آمیزی،

(گروه LEA3 و OSR40C1) بعد از تیمار ABA تجمع یافتند (Moons *et al.*, 1997 ; Moons *et al.*, 1995).

با تجمع مقادیر زیادی از توالی‌های ژنومی در پایگاه‌های اطلاعاتی، محققین به این نتیجه رسیدند، که توالی‌های کامل ژنوم نمی‌تواند به تنهایی در تشریح کارکرد بیولوژیکی کارایی داشته باشد. در واقع پروتئومیکس می‌تواند مکمل ژنومیکس باشد، زیرا روی محصول ژن که عوامل فعال در سلول‌ها هستند، تمرکز می‌کند (Akhilesh and Matthias, 2000). هدف از این تحقیق شناسایی و بررسی تغییرات در پروفایل پروتئینی گیاهچه‌های گندم هگزابلوئید رقم روشن در شرایط تنش شوری بوده است.

#### مواد و روش‌ها

در این تحقیق گندم متحمل به شوری رقم روشن (Poustinia and Siosemardeh, 2004) به عنوان ماده ژنتیکی مورد استفاده قرار گرفت. بذره‌های گندم در گلدان‌های ۲/۵ لیتری حاوی پرلیت و کوکوپیت (به نسبت ۳ به ۱) در سال ۱۳۸۸ در گلخانه گروه زراعت و اصلاح نباتات دانشکده کشاورزی دانشگاه تهران کشت شدند. بعد از مرحله دو برگ، گیاهان با استفاده از محلول غذایی هوگلند آبیاری شدند و این کار تا زمان اعمال تنش شوری (مرحله ۴ برگ) ادامه یافت. برای اعمال تنش از سطوح صفر [به عنوان شاهد (محلول غذایی هوگلند بدون نمک)]، و ۲۰۰ میلی مولار کلرید سدیم (با اضافه کردن مقادیر لازم کلرید سدیم به محلول غذایی برای رسیدن به سطوح شوری مورد نظر) استفاده گردید. تنش شوری به مدت ۱۷ روز اعمال و در پایان روز هفدهم نمونه‌گیری از برگ پنجم انجام گرفت. پس از نمونه برداری، نمونه‌ها در نیتروژن مایع منجمد و تا هنگام استخراج پروتئین در دمای ۸۰- درجه سانتیگراد نگهداری شدند.

#### اندازه‌گیری محتوای سدیم و پتاسیم

مقداری از برگ‌های جدا شده پس از شستشو با

حاصل از طیف سنج جرمی با استفاده از موتور جستجوگر MASCOT و بانک اطلاعاتی NCBI Inr مورد آنالیز قرار گرفتند. شناسایی پروتئین با استفاده از موتور جستجوگر MASCOT و با استفاده از شاخصی به نام MASCOT score صورت گرفت که این شاخص احتمال آماری شناسایی مثبت و درست پروتئین پیش‌بینی شده بوسیله MASCOT را نشان می‌دهد (Perkins *et al.*, 1999).

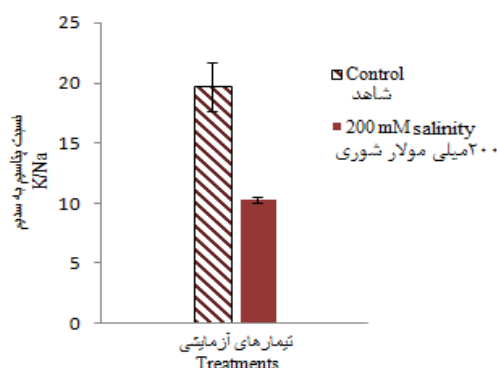
### نتایج و بحث

نتایج نشان داد که بین تیمار شوری و شاهد از نظر نسبت پتاسیم به سدیم در سطح احتمال یک درصد تفاوت معنی‌داری وجود داشت (شکل ۱). به منظور بررسی اثر تنش شوری بر روی الگوی پروتئوم برگ‌گی رقم متحمل روشن (گندم نان) پروتئین‌ها از برگ‌های پنجم گیاهچه‌های تنش دیده و شاهد استخراج شدند. پس از آنالیز ژل‌های رنگ آمیزی شده با نیترات نقره، تعداد ۲۰۰ لکه پروتئینی به طور تکرار پذیر در ژل‌ها شناسایی و مورد تجزیه آماری قرار گرفتند. نتایج نشان داد که تعداد ۴۶ لکه پروتئینی در مقایسه تیمار شوری با شاهد حداقل تغییر ۱/۵ برابری

ژل‌ها با استفاده از دنسیتومتر Gs800 (Bio-Rad) اسکن و مورد استفاده قرار گرفت. برای بررسی کمی و کیفی لکه‌ها از نرم افزار Melanie 7 استفاده شد. بدین ترتیب که ابتدا لکه‌ها شناسایی شدند و سپس لکه‌های متناظر در ژل‌های تیمارهای مختلف علامت زده شده و پس از استخراج مقدار کمی درصد حجمی لکه‌ها مورد تجزیه آماری t-Student قرار گرفتند. لکه‌هایی که مقادیر کمی بیان آنها در سطح احتمال پنج درصد تفاوت معنی‌دار و به میزان بیش از ۱/۵ برابر افزایش یا کاهش بیان داشتند، به عنوان لکه‌های کاندید در نظر گرفته شدند.

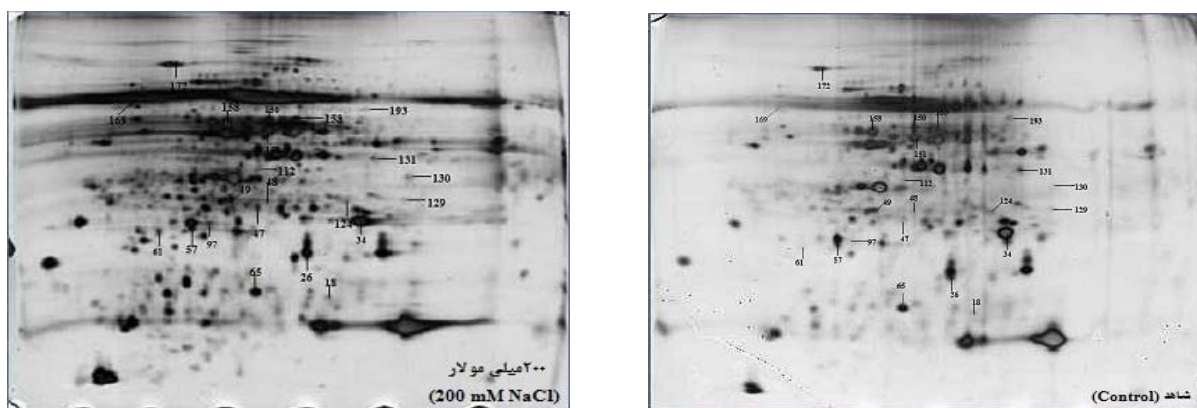
### هضم پروتئین‌ها در ژل و آنالیز با طیف سنج جرمی

جهت آنالیز اولیه با نرم افزار ملانی (Melanie software)، ژل‌ها با نیترات نقره رنگ آمیزی شدند، پس از شناسایی لکه‌های پاسخ دهنده، ژل‌های مورد نظر دوباره ران شده و با کوماسی بلو رنگ آمیزی گردیدند. سپس به منظور شناسایی به وسیله طیف سنج جرمی، لکه‌ها از ژل‌های رنگ آمیزی شده با کوماسی بلو جدا شدند. لکه‌های پروتئینی جدا شده سه بار با آب خالص شستشو داده شده و سپس برای تجزیه توسط طیف سنج جرمی با استفاده از MALDI-TOF-TOF به دانشگاه یورک انگلستان فرستاده شدند. داده‌های



شکل ۱- مقادیر میانگین و انحراف معیار نسبت پتاسیم به سدیم در برگ گیاهچه‌های گندم در تیمارهای شاهد (صفر) و ۲۰۰ میلی مولار کلرید سدیم

Fig. 1. Values of means and standard error of K:Na ratio in leaf of wheat seedlings in control (zero) and 200 mM NaCl treatments



شکل ۲- الکتروفورز دو بعدی پروتئین‌های گیاهچه‌های گندم شاهد (سمت راست) و تیمار شده با ۲۰۰ میلی مولار کلرید سدیم (سمت چپ)

Fig. 2. Two-dimensional gel electrophoresis of proteins extracted from control and NaCl treated wheat seedling

داده‌اند. تغییرات پس از ترجمه‌ای از قبیل گلیکوزیلاسیون و فسفوریلاسیون می‌توانند وزن مولکولی یا نقطه ایزوالکتریک پروتئین‌ها را تغییر دهند (Caruso *et al.*, 2008). نقش برخی از پروتئین‌های شناسایی شده در تنش شوری و سایر تنش‌های محیطی به خوبی شناخته شده است. کلیه این پروتئین‌ها در تنظیم متابولیسم کربوهیدراتها، اسیدهای آمینه، نیتروژن و انرژی و مسیر حذف رادیکال‌های فعال اکسیژن دخیل هستند که در زیر به آنها پرداخته می‌شود:

در این تحقیق بیان آنزیم فروکتوز ۱ و ۶ بیس فسفات آلدولاز کلروپلاستی (لکه ۱۱۲) کاهش یافت (جدول ۱). در گیاهان عالی دو ایزوفرم از آنزیم فروکتوز ۱ و ۶ بیس فسفات آلدولاز وجود دارد: ایزوفرم سیتوسولی و ایزوفرم کلروپلاستی. ایزوفرم کلروپلاستی با تولید فروکتوز ۱ و ۶ بیس فسفات از D- گلیسر آلدهید ۳- فسفات و دی هیدروکسی استون فسفات در چرخه کالوین و تولید نشاسته دخیل است. با کاهش بیان این آنزیم، ممکن است منجر به کاهش فعالیت چرخه کالوین و تولید نشاسته شود. این کاهش نیز ممکن است منجر به تجمع ATP و NADPH در کلروپلاست و حفاظت گیاهان از تخریب اکسیداتیو نوری

در بیان داشتند. از بین این تعداد تعداد ۲۳ لکه با استفاده از طیف سنج جرمی MALDI-TOF-TOF شناسایی شدند از بین این ۲۳ لکه، ۴ لکه کاهش بیان و ۱۹ لکه افزایش بیان داشتند. پروتئین‌های شناسایی شده در جدول ۱ آورده شده‌اند. در بین تمام پروتئین‌های شناسایی شده همبستگی خوبی بین مقادیر نقطه ایزوالکتریک (PI) و وزن مولکولی (MW) تئوریک و آزمایشی دیده می‌شود. در این آزمایش، در یک ژل گاهی برخی پروتئین‌ها در بیش از یک لکه شناسایی شدند. برای مثال آنزیم رایسکو زیرواحد کوچک (۲ لکه)، 2-cys peroxidoredoxinBAS1 (۳ لکه)، Oxygen evolving enhancer protein 2 (۳ لکه) و ریبولوز او ۵ بیس فسفات کربوکسیلاز اکتیواز (۳ لکه) از جمله پروتئین‌هایی بودند که در بیش از یک لکه شناسایی شدند (جدول ۱). پروتئین‌هایی که در بیش از یک لکه شناسایی شدند، قبلاً نیز توسط سایر محققان گزارش شده‌اند (Wang *et al.*, 2008; Caruso *et al.*, 2008; Gao *et al.*, 2011) که علت آن را به تعدادی از ویژگی‌های مهم پروتئین‌ها از جمله وجود ایزوفرم‌های پروتئین، تغییرات پس از ترجمه‌ای، ترجمه از alternative spliced mRNA و تخریب پروتئین نسبت

جدول ۱- پروتئین‌های پاسخ دهنده به شوری شناسایی شده بوسیله MALDI-TOF-TOF در گیاهچه‌های گندم

Table 1. Identified Salt Responsive Proteins using MALDI TOF-TOF in wheat seedlings

شماره No.	شماره لکه روی ژل Spot ID	شماره پروتئین در پایگاه‌های اطلاعاتی Number	هویت لکه Identity	تغییرات بیان Expression change	درصد پوشش Coverage %	نمره موتور جستجوگر مسکات MS Score	نقطه ایزوالکتریک پروتئین پیش‌بینی شده / جرم مولکولی پروتئین The pI/MW(kDa)	نقطه ایزوالکتریک پروتئین روی ژل / جرم مولکولی پروتئین روی ژل Exp pI/MW(kDa)
1	36	gi 131394	Oxygen-evolving enhancer protein 2, chloroplastic	- 0.42	48	368	8.84 , 27.42	5.58 , 26
2	34	gi 131394	Oxygen-evolving enhancer protein 2, chloroplastic	- 0.50	67	552	8.84 , 27.42	5.94 , 25
3	193	gi 131394	Oxygen-evolving enhancer protein 2, chloroplastic	- 0.42	33	196	8.84 , 27.42	5.96 , 52
4	47	gi 1174745	Triosephosphate isomerase, chloroplastic	+ 2.06	28	100	6 , 31.95	5.23 , 27
5	131	gi 49343245	malat دهیدروژناز سیتوسولی cytosolic malate dehydrogenase [ <i>Triticum aestivum</i> ]	+ 1.53	41	115	5.7 , 35.80	6.004 , 37
6	130	gi 4038719	زیر واحد کوچک ریبولوز ۱ و ۵ فسفات کریو کسپلاز اکسیژناز ribulose-1,5-bisphosphate carboxylase/oxygenase small subunit [ <i>Triticum aestivum</i> ]	+ 1.58	56	255	8.83 , 18.80	6.19 , 32
7	153	gi 167096	ریبولوز ۱ و ۵ فسفات کریو کسپلاز اکسیژناز، ایزوفرم ۱ ribulose 1,5-bisphosphate carboxylase activase isoform 1 [ <i>Hordeum vulgare</i> subsp. <i>vulgare</i> ]	+ 1.9	31	331	8.62 , 47.34	5.53 , 49
8	150	gi 167096	ریبولوز ۱ و ۵ فسفات کریو کسپلاز اکسیژناز، ایزوفرم ۱ ribulose 1,5-bisphosphate carboxylase activase isoform 1 [ <i>Hordeum vulgare</i> subsp. <i>vulgare</i> ]	+ 1.94	49	537	8.62 , 47.34	5.32 , 45
9	151	gi 115392208	ریبولوز ۱ و ۵ فسفات کریو کسپلاز اکسیژناز کلروپلاستی chloroplast ribulose-1,5-bisphosphate carboxylase activase [ <i>Triticum aestivum</i> ]	+ 1.93	39	361	6.52 , 40.26	5.31 , 49
10	158	gi 71362638	گلوتامین سنتاز پلاستییدی، ایزوفرم GS2b plastid glutamine synthetase isoform GS2b [ <i>Triticum aestivum</i> ]	+ 1.82	36	541	6 , 46.95	4.98 , 48
11	57	gi 2499477	۲-میس پراکسی ردوکسین BAS1 کلروپلاستی 2-Cys peroxiredoxin BAS1, chloroplastic	+ 1.71	54	708	5.4 , 23.39	4.65 , 25
12	97	gi 2499477	۲-میس پراکسی ردوکسین BAS1 کلروپلاستی 2-Cys peroxiredoxin BAS1, chloroplastic	+ 5.22	30	92	5.4 , 23.39	4.81 , 25
13	61	gi 2499477	۲-میس پراکسی ردوکسین BAS1 کلروپلاستی 2-Cys peroxiredoxin BAS1, chloroplastic	+ 2.48	54	359	5.4 , 23.39	4.42 , 24
14	18	gi 132107	زیر واحد کوچک ریبولوز ۱ و ۵ فسفات کریو کسپلاز کلون ۵۱۲ Ribulose bisphosphate carboxylase small chain clone 512	+ 1.75	36	60	5.8 , 13.27	5.75 , 16
15	172	gi 254211611	پروتئین شوک حرارتی ۷۰ کیلو دالتونی 70 kDa heat shock protein [ <i>Triticum aestivum</i> ]	+ 1.61	35	578	4.9 , 73.72	4.53 , 60
16	112	gi 223018643	فروکتوز بیس فسفات آلدولاز کلروپلاستی chloroplast fructose-bisphosphate aldolase [ <i>Triticum aestivum</i> ]	0.48-	21	345	5.9 , 42.21	5.22 , 34
17	129	gi 62176930	زیر واحد کوچک رایسکو putative rubisco small subunit [ <i>Triticum turgidum</i> subsp. <i>durum</i> ]	+ 1.52	52	227	8.59 , 19.32	6.17 , 29
18	49	gi 15808779	آسکوربات پراکسیداز ascorbate peroxidase [ <i>Hordeum vulgare</i> ]	+ 1.58	44	385	5 , 27.96	5.02 , 29
19	169	gi 21684943	زیر واحد بزرگ ریبولوز ۱ و ۵ فسفات کریو کسپلاز اکسیژناز ribulose 1,5-bisphosphate carboxylase/oxygenase large subunit [ <i>Distichia acicularis</i> ]	+ 1.58	33	353	6.2 , 48.65	4.34 , 54
20	124	gi 47607439	پیش ماده ATP سینتاز میتوکندریایی mitochondrial ATP synthase precursor [ <i>Triticum aestivum</i> ]	+ 0.44	37	164	8.8 , 27.09	5.85 , 28
21	48	gi 255565291	ناقل abc abc transporter, putative [ <i>Ricinus communis</i> ]	+ 1.99	9	69	6.4 , 36.00	5.3 , 28
22	26	gi 32400802	فسفو گلایسرات موتاز phosphoglycerate mutase [ <i>Triticum aestivum</i> ]	+ 1.73	66	454	5.3 , 29.61	5.61 , 21
23	65	gi 1572627	Cu/Zn سوپر اکسید دیسموتاز Cu/Zn superoxide dismutase [ <i>Triticum aestivum</i> ]	+ 1.73	43	437	5.3 , 20.35	5.21 , 17

پروتئین تحت تنش شوری در گیاهچه های گندم کاهش یافت (جدول ۱). Oxygen evolving enhancer protein 2 یکی از سه پروتئینی است که در کمپلکس آزاد سازی اکسیژن در فتوسیستم II نقش ایفا می کند و باعث تجزیه آب و آزادسازی اکسیژن می شود (De Vitry et al., 1989). کاهش بیان این پروتئین احتمالا به این علت است که سطح آزاد سازی اکسیژن کاهش پیدا می کند که این موضوع باعث می شود تا رادیکال های اکسیژن آزاد کمتری تولید شده و تخریب کمتری به فتوسیستم II وارد گردد. در گندم دوروم تحت تنش شوری (Caruso et al., 2008) کاهش بیان این پروتئین گزارش شده است.

لکه ۴۷ به آنزیم تریوز فسفات ایزومراز کلروپلاستی تعلق دارد. بیان این آنزیم تحت تنش شوری در گیاهچه های گندم افزایش یافت (جدول ۱). تریوز فسفات ایزومراز واکنش تبدیل دو طرفه دی هیدروکسی استون فسفات و دی گلیسر آلدهید تری فسفات را کاتالیز می کند. دو نوع ایزوform از این آنزیم وجود دارد: سیتوسولی و کلروپلاستی. ایزوform پلاستی در چرخه کالوین دخیل است (Gao et al., 2011). به نظر می رسد که افزایش بیان آنزیم تریوز فسفات ایزومراز کلروپلاستی به علت نیاز به انرژی جهت سمیت زدایی و بازسازی آسیب های ناشی از تخریب اکسیداتیو است. گزارشات قبلی نیز افزایش بیان این آنزیم را در برگ گندم نان (Gao et al., 2011, Wang et al., 2008) و گندم دوروم (Caruso et al., 2008) تحت تنش شوری نشان دادند.

لکه ۱۵۸ متعلق به آنزیم گلوتامین سنتاز پلاستی است. در گیاهچه های گندم تحت تنش شوری بیان این آنزیم افزایش یافت (جدول ۱). این آنزیم، تثبیت آمونیوم روی گروه δ-کربوکسیل گلوتامات را (که وابسته به آدنوزین تری فسفات است) کاتالیز می کند تا گلوتامین را بوجود آورد. در واقع این آنزیم گروه های نیتروژنی را برای بیوسنتز همه اجزای نیتروژنی در گیاه

شوند (Michelis and Gepstein, 2000). کاروسو و همکاران (Caruso et al., 2008) نیز کاهش بیان این آنزیم را در گندم دوروم تحت تنش شوری مشاهده کردند. لکه های ۱۲۹، ۱۸ و ۱۳۰ مربوط به زیرواحد کوچک رابیسکو است. بیان این لکه ها تحت تنش شوری در گیاهچه های گندم رقم روشن افزایش پیدا کرد (جدول ۱). رابیسکو، آنزیم کلیدی چرخه کلوین است و واکنش تبدیل دی-ریبولوز ۱ و ۵ بیس فسفات و دی اکسید کربن به دو مولکول ۳-فسفو دی گلیسرات را کاتالیز می کند. تنش های محیطی می توانند موجب غیرفعال شدن قابل برگشت یا غیر قابل برگشت رابیسکو شوند. رابیسکو غیرفعال شده غیر قابل برگشت بوسیله نسخه های جدید سنتز شده جایگزین می شود. بنظر می رسد که بواسطه ناپایدار بودن زیر واحدهای رابیسکو بیان آنها در گیاه تحت تنش افزایش یافته است. لکه ۱۶۹ متعلق به زیرواحد بزرگ رابیسکو است. همانطور که در جدول یک نیز مشخص شده است، میزان بیان زیرواحد بزرگ رابیسکو در شرایط تنش شوری افزایش یافته است. در شرایط شدید و بلند مدت شوری، فراوانی افزایش یافته زیرواحد بزرگ رابیسکو می تواند دال بر تخریب بیشتر پروتئین نیز باشد. مدار کی وجود دارد که نشان می دهد زیرواحدهای بزرگ رابیسکو می توانند توسط گونه های اکسیژنی فعال تشکیل شده در جایگاه اتصال یون فلزی شکسته شوند (Hajduch et al., 2001). با توجه به وزن مولکولی تئوریک زیرواحد بزرگ رابیسکو (۴۸/۶۵ کیلودالتون) و وزن مولکولی بدست آمده در آزمایش حاضر (۵۴ کیلودالتون)، مشخص است که رقم روشن توانسته است در طی ۱۷ روز تنش شوری، بیان زیرواحد بزرگ رابیسکو را بدون اینکه تخریب شود، افزایش دهد که این موضوع احتمالا باعث جبران زیرواحدهای غیر فعال شده در طی تنش خواهد شد.

لکه های ۳۴، ۳۶ و ۱۹۳ به Oxygen-evolving enhancer protein 2 کلروپلاستی تعلق دارند. بیان این

اکسیداتیو در گیاهان است و واکنشی که توسط سوپر اکسید دیسموتاز کاتالیز می‌شود،  $O_2^-$  درون سلولی را در سطوح عادی حفظ می‌کند. محققان متعددی به دخالت این آنزیم در حفاظت از سلول در تنش‌های مختلف اشاره کرده‌اند (Askari et al., 2006, Caruso et al., 2008).

لکه‌های ۵۷، ۶۱، و ۹۷ متعلق به ۲- سیس پراکسی‌ردوکسین کلروپلاستی است که بیان این لکه‌ها تحت تنش شوری در گیاهچه‌های گندم افزایش یافت (جدول ۱). پروکسی‌ردوکسین‌ها به صورت چندین ایزوفرم وجود دارند و واکنش احیا دامنه وسیعی از پراکسیدهای مختلف شامل  $H_2O_2$ ، آلکیل هیدروپراکسیدها و پراکسی نیتريت را کاتالیز می‌کند (Kobayashi et al., 2004) و باعث سمیت زدایی از دامنه وسیعی از رادیکال‌های آزاد تولید شده در تنش شوری می‌شود. در چندین گزارش نیز به افزایش بیان این آنزیم تحت تنش شوری اشاره گردیده است (Ndimba et al., 2005, Caruso et al., 2008).

لکه ۲۶ متعلق به آنزیم فسفوگلیسرات موتاز است که تحت تنش شوری در گیاهچه‌های گندم افزایش یافت (جدول ۱). فسفوگلیسرات موتاز یک آنزیم گلیکولیزی است که باعث تبدیل گلیسرات ۳-فسفات و گلیسرات ۲-فسفات به یکدیگر می‌شود (Yan et al., 2006). افزایش بیان این آنزیم ممکن است به تولید انرژی بیشتر مورد نیاز در فرآیندهای دفاعی متعدد کمک کند. افزایش بیان این آنزیم در گندم دوروم تحت تنش شوری (Caruso et al., 2008) و در برنج تحت تنش سرما (Yan et al., 2006) گزارش شده است.

لکه‌های ۱۵۰، ۱۵۱ و ۱۵۳ متعلق به آنزیم رابیسکو اکتیواز هستند که تحت تنش شوری در گیاهچه‌های گندم افزایش یافتند (جدول ۱). رابیسکو اکتیواز، متعلق به پروتئین‌های خانواده  $AAA^+$  است. این آنزیم احتمالاً به عنوان چارپرون‌های مولکولی عمل می‌کند. نقش

فراهم می‌کند (Ireland and Lea 1999). گلوتامین نیز اسید آمینه اصلی دخیل در سنتز پرولین است. پرولین یک جزء مهم پاسخ به تنش شوری در گیاهان به شمار می‌رود و در داخل سلول گیاه می‌تواند به عنوان یک تنظیم کننده اسمزی و عامل حفاظتی اسمزی از گیاه در برابر تنش شوری حمایت کند. در مطالعات قبلی، افزایش بیان این آنزیم در برگ گندم نان (Wang et al., 2008) و گندم دوروم (Caruso et al., 2008) و برنج (Yan et al., 2006) نیز گزارش شده است.

به دلیل حفظ هموستازی در شرایط تنش، گیاهان نیاز دارند تا سازوکارهای مقاومت از قبیل حذف رادیکال‌های اکسیژن فعال و سیستم دفاع سلولی را تقویت کنند. گونه‌های اکسیژن فعال می‌توانند اجزای سلولی را تخریب کنند و به عنوان مولکول‌های پیام دهنده عمل می‌کنند (Apel and Heribert, 2004). گیاهان می‌توانند سطح گونه‌های اکسیژن فعال را از طریق سازوکارهای پیچیده چندین آنزیم تنظیم کنند، که کارکرد این آنزیم‌ها در سمیت زدایی سلولی و دفاع سلولی است. در این آزمایش، فراوانی پروتئین‌های دخیل در این سازوکارها در شرایط تیمار شوری افزایش یافت. لکه ۴۹ متعلق به آنزیم آسکوربات پراکسیداز است که تحت تنش شوری در گیاهچه‌های گندم افزایش یافت (جدول ۱). این آنزیم یکی از آنزیم‌های آنتی‌اکسیدانی اصلی در گیاهان است که می‌تواند با اکسید کردن آسکوربات، پراکسید هیدروژن ( $H_2O_2$ ) را غیر سمی کند. بر طبق گزارشات قبلی بیان این آنزیم در گندم نان (Wang et al., 2008) و گندم دوروم (Caruso et al., 2008) تحت تنش شوری افزایش یافت. لکه ۶۵ متعلق به آنزیم سوپر اکسید دیسموتاز (Cu-Zn) است که تحت تنش شوری در گیاهچه‌های گندم افزایش یافت (جدول ۱). سوپر اکسید دیسموتاز نیز بخشی از یک سیستم آنزیمی سمیت زدایی برای از بین بردن گونه‌های اکسیژن فعال است (Asada, 1999). رادیکال  $O_2^-$  منبع اصلی آسیب



غیر زنده در گیاه آبری *Spidodela polyrrizha* گزارش کرده‌اند و نقش احتمالی آن را در دفع متابولیت سلولی دانسته‌اند که در شرایط تنش شوری تجمع می‌یابد.

لکه ۱۷۲ متعلق به پروتئین شوک حرارتی ۷۰ (hsp70) است که تحت تنش شوری در گیاهچه‌های گندم افزایش یافت (جدول ۱). تصور می‌شود که خانواده پروتئینی hsp70 به علت اتصال به زنجیره‌های پلی پپتیدی سایر پروتئین‌ها، در تا خوردگی صحیح پروتئین‌ها و همچنین حفاظت از آنها در برابر تخریب شدن و یا انباشته شدن آنها دخیل هستند. همچنین گزارش شده است که hsp70 در انتقال پروتئین‌ها از عرض غشاهای اندامک‌های سلولی دخیل هستند (Ndimba *et al.*, 2005). پیشنهاد شده است که hsp70 می‌تواند نقشی در تحمل به تنش شوری با حفاظت از پروتئین‌ها و تسهیل در انتقال بین سلولی آنزیم‌های سلولی ضروری ایفا کند. افزایش بیان این پروتئین‌ها در آزمایش‌های متعددی نشان داده شده است (Ndimba *et al.*, 2008, Wang *et al.*, 2005).

لکه ۱۳۱ متعلق به پروتئین مالات دهیدروژناز سیتوسولی است که تحت تنش شوری در گیاهچه‌های گندم افزایش یافت (جدول ۱). آنزیم مالات دهیدروژناز واکنش تبدیل دوطرفه مالات به اگزالواستات و برعکس را کاتالیز می‌کند. این آنزیم در سیتوسول، میتوکندری و پراکسیزوم، وابسته به  $NAD^+$  و در کلروپلاست وابسته به  $NADP^+$  است. در سیتوسول آنزیم مالات دهیدروژناز وابسته به  $NAD^+$  واکنش تبدیل اگزالواستات به مالات را کاتالیز می‌کند. سپس مالات از طریق ناقل دکربوکسیلات وارد میتوکندری می‌شود و در آنجا وارد چرخه تری کربوکسیلیک اسید می‌شود. این موضوع باعث عملکرد بهتر این چرخه می‌شود. همچنین اگزالواستات به عنوان پیش ماده اسید آمینه در گیاهان عمل می‌کند (Kumar *et al.*, 2000)، بنابراین به نظر می‌رسد که افزایش فعالیت مالات دهیدروژناز در حفظ فعالیت

اصلی اکتیواز حفظ فعالیت کاتالیتیکی رایسکو با حذف قندهای بازدارنده از جایگاه فعال رایسکو کاربامات شده یا غیر کاربامات شده است (Portis, 2003). نتیجه بدست آمده در این تحقیق نیز موافق با نتایج پارکر و همکاران (Parker *et al.*, 2006) بود که گزارش کردند، بیان بالای اکتیواز در پهنک برگ برنج ممکن است، جهت تحمل تنش شوری مورد نیاز باشد (به علت کاهش مستقیم در هدایت روزنه‌ای و سطوح پایین دی‌اکسید کربن). پایین بودن غلظت دی‌اکسید کربن در استروما باعث افزایش غیرفعال شدن رایسکو از طریق اتصال قندهای بازدارنده می‌شود. افزایش فعالیت اکتیواز به طور مستقیم اجازه عمل کربو کسیلاسیون در سطوح پایین دی‌اکسید کربن را می‌دهد (Parker *et al.*, 2006).

لکه ۱۲۴ متعلق به آنزیم پیش ماده ATP سینتاز میتوکندریایی است که تحت تنش شوری در گیاهچه‌های گندم رقم روشن کاهش یافت (جدول ۱). آنزیم ATP سینتاز یکی از آنزیم‌های مهم مورد نیاز برای تعیین و حفظ هموستازی یون در سلول‌های گیاهی است. کاهش بیان این آنزیم احتمالاً مرتبط با کاهش میزان فتوسنتز تحت تنش شوری است، که با نتایج کاروسو و همکاران (Caruso *et al.*, 2008) مطابقت دارد.

لکه ۴۸ متعلق به ABC ترانسپورتر است که تحت تنش شوری در گیاهچه‌های گندم افزایش یافته است (جدول ۱). این پروتئین انتقال متابولیت‌های ثانویه از قبیل آلکالوئیدها، تریپنوئیدها، پلی فنول‌ها و کوئینین‌ها که نقش‌های مهمی در دفاع و تحمل به تنش‌های غیر زنده در گیاهان ایفاء می‌کنند را تسهیل می‌کند (Wang *et al.*, 2008). افزایش بیان این ناقل در برگ گندم نان نیز گزارش شده است (Wang *et al.*, 2008). اسمارت و فلمینگ (Smart and Fleming, 1996) نیز القای ژن ABC ترانسپورتر بوسیله هورمون‌ها، نمک و سایر تنش‌های

انتقال بین سلولی آنزیم‌های سلولی ضروری در تحمل به تنش شوری نقش ایفا می‌کند. در گیاهچه‌های گندم احتمالاً با افزایش بیان آنزیم گلوتامین سنتاز، گروه‌های نیتروژنی مورد نیاز برای بیوستتز همه اجزای نیتروژنی در گیاه فراهم شده است. در این آزمایش افزایش بیان ABC ترانسپورتر نیز مشاهده گردید و طبق گزارش قبلی این نوع از ناقلین در دفع متابولیت سیتوسولی که در طی تنش شوری تولید می‌شوند، نقش دارند. با این حال نقش دقیق این نوع ترانسپورترها در تحمل به تنش شوری مشخص نشده است. این نوع ناقل می‌تواند به عنوان یک پروتئین کاندیدا در تحمل به تنش شوری مورد توجه قرار گیرد و با استفاده از روش‌های دیگر از جمله ترانسکریپتومیکس مورد بررسی بیشتری قرار گیرد. نتایج بدست آمده از این تحقیق می‌تواند مورد توجه به‌نژادگران گیاهی از نظر تحمل به تنش شوری در گندم قرار گیرد.

### سپاسگزاری

هزینه این طرح از محل صندوق حمایت از پژوهشگران تامین گردیده است. بدینوسیله از حمایت‌های صندوق مذکور سپاسگزاری می‌شود.

بالتر چرخه تری کربوکسیلیک اسید و نیز سنتز بیشتر اسید آمینه‌ها کمک می‌کند. افزایش فعالیت این آنزیم در برگ گندم نان (Wang *et al.*, 2008) و آرایدوپسیس (Ndimba *et al.*, 2005) مشاهده گردید. با توجه به اینکه تنش شوری یکی از تنش‌های مهمی است، که عملکرد گیاهان زراعی را تحت تاثیر قرار می‌دهد، درک سازوکارهایی که گیاهان به هنگام مواجهه با تنش به کار می‌برند، کمک شایان توجهی به محققان به نژادی گیاهی خواهد کرد. به نظر می‌رسد که در گیاهچه‌های گندم برای دفاع از سلول در برابر رادیکال‌های آزاد از آنزیم‌های آنتی اکسیداتی آسکوربات پراکسیداز، سوپر اکسید دیسموتاز و پروکسی ردوکسین استفاده شده و با تغییر بیان آنزیم‌های تریوزفسفات ایزومراز، فسفوگلیسرات موتاز و ملات دهیدروژناز احتمالاً بخشی از انرژی مورد نیاز برای واکنش‌های سمیت زدایی از سلول فراهم می‌شود. همچنین در این رقم با افزایش سنتز رایبیسکو، احتمالاً رایبیسکوی غیرفعال شده طی تنش شوری جبران شده و با افزایش فعالیت اکتیواز کارایی آنزیم رایبیسکو نیز افزایش یافته است. بیان بالای پروتئین شوک حرارتی ۷۰ هم احتمالاً با حفاظت از پروتئین‌ها و تسهیل در

### References

- Abbasi, F. M. and S. Komatsu. 2004. A proteomic approach to analyze salt-responsive proteins in rice leaf sheath. *Proteomics*. 4(7): 2072-2081.
- Akhilesh, P. and M. Matthias. 2000. Proteomics to study genes and genomes. *Nature*, 405: 837-846.
- Apel, K. and H. Heribert. 2004. Reactive oxygen species: metabolism, oxidative stress, and signal transduction. *Annu. Rev. Plant Biol.* 55: 373-399.
- Asada, K. 1999. The water-water cycle in chloroplasts: scavenging of active oxygens and dissipation of excess photons. *Annu. Rev. Plant Physiol. Plant Mol. Biol.* 50: 601-639.
- Ashraf, M. and P. J. C. Harris. 2004. Potential biochemical indicators of salinity tolerance in plants. *Plant Sci.* 166: 3-16.
- Askari, H., J. Edqvist, M. Hajheidari, M. Kafi and G. Hosseini Salekdeh. 2006. Effect of salinity levels on proteome of *Suaeda aegyptica* leaves. *Proteomics*, 6: 2546-2554.

### منابع مورد استفاده

- Bloom, H., H. Beier and H. S. Gross. 1987.** Improved silver staining of plant proteins, RNA and DNA in polyacrylamide gels. *Electrophoresis*, 8: 93-99.
- Bradford, M. M. 1976.** A rapid and sensitive method for the quantitation of microgram quantities of protein utilizing the principle of protein-dye binding. *Analytical Biochem.* 72: 248-254
- Caruso G., C. Cavaliere, C. Guarino, R. Gubbiotti, P. Foglia and A. Laganà. 2008.** Identification of changes in *Triticum durum L.* leaf proteome in response to salt stress by two-dimensional electrophoresis and MALDI-TOF mass spectrometry. *Anal. Bioanal. Chem.* 391: 381–390.
- Damerval, C., D. de Vienne, M. Zivy and H. Thiellement. 1986.** Technical improvements in two-dimensional electrophoresis increase the level of genetic variation detected in wheat-seedling proteins. *Electrophoresis*. 7: 52–54.
- De Vitry, C. O., J. Drapier, D. Recouvreur and M. Wollman. 1989.** Post-translational events leading to the assembly of photosystem II protein complex: A study using photosynthesis mutants from *Chlamydomonas reinhardtii*. *J. Cell Biol.* 109(3): p. 991.
- Gao L., X. Yan, X. Li, G. Guo, Y. Hua, W. Ma and Y. Yan. 2011.** Proteome analysis of wheat leaf under salt stress by two-dimensional difference gel electrophoresis (2D-DIGE). *Phytochemistry*. 72(10): 1180-91.
- Greenway, H. and R. Munns. 1980.** Mechanisms of salt tolerance in nonhalophytes. *Annu. Rev. Plant Physiol.* 31: 149–190.
- Gygi, S., Y. Rochon, B. Frasz and R. Aebersold. 1999.** Correlation between protein and mRNA abundance in yeast. *Mol. Cell Biol.* 19: 1720–1730.
- Hajduch, M., R. Rakwal, G. K. Agrawal, M. Yonekura and A. Pretova. 2001.** High-resolution two-dimensional electrophoresis separation of proteins from metal-stressed rice (*Oryza sativa L.*) leaves: Drastic reductions/ fragmentation of ribulose-1,5-bisphosphate carboxylase/oxygenase and induction of stress-related proteins. *Electrophoresis*. 22: 2824–2831.
- Ireland, R. J. and P. J. Lea. 1999.** The enzymes of glutamine, glutamate, asparagine, and aspartate metabolism. in *Plant Amino Acids, Biochemistry and Biotechnology*. ed Singh B. K. (Marcel Dekker, New York), pp 49–109.
- Kobayashi, M., T. Ishizuka, M. Katayama, M. Kanehisa, M. Bhattacharyya- Pakrasi, H. B. Pakrasi and M. Ikeuchi. 2004.** Response to oxidative stress involves a novel peroxiredoxin gene in the unicellular cyanobacterium *Synechocystis sp.* *Plant Cell Physiol.* 45: 290–299.
- Kreps, J. A, Y. Wu, H. S. Chang, T. Zhu, X. Wang and J. F. Harper. 2002.** Transcriptome changes for *Arabidopsis* in response to salt, osmotic, and cold stress. *Plant Physiol.* 130: 2129–2141.
- Kumar, R. G., K. Shah and R. S. Dubey. 2000.** Salinity induced behavioural changes in malate dehydrogenase and glutamate dehydrogenase activities in rice seedlings of differing salt tolerance. *Plant Sci.* 156: 23–34.
- Michelis, R. and S. Gepstein. 2000.** Identification and characterization of a heat-induced isoform of aldolase in

- oat chloroplast. *Plant Mol. Biol.* 44: 487–498.
- Moons, A., G. Bauw, E. Prinsen, M. Van Montagu and D. Straeten. 1995.** Molecular and physiological responses to abscisic acid and salts in roots of salt sensitive and salt tolerant indica rice varieties. *Plant Physiol.* 107: 177–186.
- Moons, A., E. Prinsen, G. Bauw and M. Van Montagu. 1997.** Antagonistic effects of abscisic acid and jasmonates on salt inducible transcripts in rice roots. *Plant Cell.* 9: 2243–2259.
- Munns, R. M. and M. Tester. 2008.** Mechanisms of salinity tolerance. *Annu. Rev. Plant Biol.* 59: 651–81.
- Ndimba, B. K., S. Chivasa, W. J. Simon and A. R. Slabas. 2005.** Identification of *Arabidopsis* salt and osmotic stress responsive proteins using two-dimensional difference gel electrophoresis and mass spectrometry. *Proteomics.* 5: 4185–4196.
- Parker, R. T. J. Flowers, A. L. Moore and N. V. Harpham. 2006.** An accurate and reproducible method for proteome profiling of the effects of salt stress in the rice leaf lamina. *J. Exp. Bot.* 57(5): 1109–1118.
- Perkins, D. N., D. J. C. Pappin, D. M. Creasy and J. S. Cottrel. 1999.** Probability based protein identification by searching sequences databases using mass spectrometry data. *Electrophoresis.* 20: 3551–3567.
- Portis Jr, A. R. 2003.** Rubisco activase: Rubisco's catalytic chaperone. *Photosynthesis Res.* 75(1): 11–27.
- Poustinia K. and A. Siosemardeh. 2004.** Ion distribution in wheat cultivars in response to salinity stress. *Field Crops Res.* 85: 125–133.
- Rahnama, A. F. 2009.** Evaluation of some physiological mechanisms of salt tolerance in seven wheat cultivars (*Triticum aestivum L.*). Ph.D. Thesis. University of Tehran. Iran. (In Persian).
- Riccardi F, P. Gazeau, D. de Vienne and M. Zivy. 1998.** Protein changes in response to progressive water deficit in maize. Quantitative variation and polypeptide identification. *Plant Physiol.* 117:1253–1263.
- Smart, C. C. and A. J. Fleming. 1996.** Hormonal and environmental regulation of a plant PDR5-like ABC transporter. *J. Biol. Chem.* 271: 19351–19357.
- Wang, M. C., Z. Y. Peng, C. L. Li, F. Li, C. Liu and G. M. Xia. 2008.** Proteomics analysis on a high salt tolerance introgression strain of *Triticum aestivum/Thinopyrum ponticum*. *Proteomics.* 8: 1470–1489.
- Williams, K. and D. Hochstarsser. 1997.** In: Wilkins M., K. Williams R. Appel D. Hochstrasser (Eds.) *Proteome Research: New Frontiers in Functional Genomics.* Springer. Berlin.
- Yan, S. P., Q. Y. Zhang, Z. C. Tang, W. A. Su and W. N. Sun. 2006.** Comparative proteomic analysis provides new insights into chilling stress responses in rice. *Mol. Cell. Proteomics* 5, 484–496.

## Effect of salinity on changes in protein profile in seedlings of wheat (*Triticum aestivum* L.) cv. Roshan

Maleki, M.<sup>1</sup>, M. R. Naghavi<sup>2</sup>, H. Alizadeh<sup>3</sup>, K. Poustini<sup>4</sup> and C. Abd Mishani<sup>5</sup>

### ABSTRACT

Maleki, M., M. R. Naghavi, H. Alizadeh, K. Poustini and C. Abd Mishani. 2012. Effect of salinity on changes of protein profile in seedlings of wheat (*Triticum aestivum* L.) cv. Roshan. *Iranian Journal of Crop Sciences*. 13(4): 684-696. (In Persian).

The effect of salinity on changes of protein profile in seedlings of wheat cv. Roshan was evaluated in a pot experiment in faculty of Agriculture, University of Tehran, in 2009. Seedlings of wheat cv. Roshan were exposed to 200 mM salinity for seventeen days. A proteomics technique was used to study proteins of leaf. Proteins of the leaves were extracted by TCA–acetone, and separated by two-dimensional gel electrophoresis at pH 4–7. Two hundred repeatable spots were identified and statistically analyzed. Twenty three spots were identified using MALDI TOF-TOF mass spectrometry. Expressions of nineteen spots increased and expressions of four spots decreased. Some identified proteins such as glutamine synthetase, ascorbate peroxidase, Cu/Zn superoxide dismutase and rubisco activase were up-regulated and other proteins like Oxygen-evolving enhancer protein and fructose-bisphosphate aldolase were down-regulated. Identified proteins are involved in regulation of carbohydrate, nitrogen and energy metabolism and eliminating of ROS. In this study, we recognized some proteins involved in salt tolerance at seedling stage in the cv. Roshan.

**Key words:** Bread wheat, Proteomics and Salt stress.

---

**Received: September, 2010 Accepted: June, 2011**

1- Faculty member, International Center for Sciences and Advance Technologies and Environmental Sciences of Kerman, Kerman, Iran (Corresponding author) (Email: maleki@ut.ac.ir)

2- Professor, University of Tehran, Karaj, Iran

3- Professor, University of Tehran, Karaj, Iran

4- Professor, University of Tehran, Karaj, Iran

5- Professor, University of Tehran, Karaj, Iran